

外界干扰存在时的MRAC研究

王 宏

(华中工学院)

摘要

本文对外界干扰存在时的参考模型自适应控制系统进行了研究，并分别在状态可测和不可测情况下给出了相应的自适应规律。实时仿真的结果表明：文中给出的方案是可行的。

一、被控对象状态可测时的理想组合模型及自适应律

设被控对象的状态方程是

$$P, \dot{x}_p = A_p x_p + B_p u_p + E_p d, \quad (1)$$

其中 $x_p \in R^n$, $u_p \in R^m$, $d \in R^l$, d 为可测干扰。 A_p , B_p 和 E_p 分别是未知定常矩阵。

理想组合模型取为

$$M, \dot{x}_m = A_m x_m + B_m r + E_m d, \quad (2)$$

其中 $x_m \in R^n$, $r \in R^m$ 为理想输入, A_m 是稳定矩阵。

我们的目的是确定 u_p 以便:

$$\lim_{t \rightarrow \infty} (x_m - x_p) = \lim_{t \rightarrow \infty} e = 0. \quad (3)$$

为此, 取 u_p 的结构如下:

$$u_p = G(Rr + Wd - Fx_p), \quad (4)$$

式中 G , R , W 和 F 是自适应增益矩阵。那么式(1)变为:

$$\dot{x}_p = (A_p - B_p G F) x_p + B_p G R r + (B_p G W + E_p) d. \quad (5)$$

类似于文献[3], 设存在 (R^*, G^*, W^*, F^*) 使得

$$A_p - B_p G^* F^* = A_m, \quad (6)$$

$$B_p G^* R^* = B_m, \quad (7)$$

$$B_p G^* W^* + E_p = E_m \quad (8)$$

成立。则:

(I) 当 B_p 已知时, 有:

$$\dot{e} = A_m e + B_p \phi x_p + B_p \phi r + B_p \phi d, \quad (9)$$

其中 $\phi = GF - G^*F^*$, $\psi = G^*E^* - GR$, $E = G^*W^* - GW$. 由文献[3]中的结果, 可得自适应律为

$$\dot{\phi} = -\Gamma_1 B_p^T P e x_p^T, \quad (10)$$

$$\dot{\psi} = -\Gamma_2 B_p^T P e r^T, \quad (\Gamma_i = \Gamma_i^T > 0, i = 1, 2, 3) \quad (11)$$

$$\dot{R} = -\Gamma_3 B_p^T P e d^T, \quad (12)$$

而 P 是方程 $A_m^T P + PA_m = -Q$ ($Q = Q^T > 0$) 之正定解。

(Ⅱ) B_p 未知且 $R = I$ 时, 有:

$$\dot{e} = A_m e + B_m \overline{\phi} x_p + B_m \overline{\phi} G[(r - F x_p) + W d] + B_m \overline{B} d, \quad (13)$$

其中 $\overline{\phi} = F - F^*$, $\overline{\phi} = G^{-1} - G^{*-1}$, $\overline{B} = W^* - W$, 相应的自适应律为

$$\dot{F} = -\Gamma_1 B_m^T P e x_p^T; \quad \dot{W} = \Gamma_2 B_m^T P e d^T, \quad (14)$$

$$\dot{G} = G \Gamma_3 B_m^T P e (r - F x_p + W d)^T G^T G, \quad (15)$$

而 $\Gamma_i (i = 1, 2, 3)$ 和 P 的意义同(Ⅰ)。

二、状态不可测时的自适应控制

此时, 被控对象由下式表示:

$$P_p y_p(s) = W_p(s) u_p(s) - W_d(s) d(s), \quad (16)$$

其中 $W_p(s) = k_p z_p(s)/R_p(s)$, $W_d(s) = k_d z_d(s)/R_p(s)$, $z_{e_{1,2}}(s)$ 是首 1 的 Hurwitz 多项式, $R_p(s)$ 为首 1 多项式且 $\deg z_{e_{1,2}}(s) < n$, $k_{e_{1,2}}$ 为符号已知的常数, n 和 $\deg z_{e_{1,2}}$ 也设为已知。而相应的状态方程是

$$P_p x_p = A_p x_p + b_p u_p + l_p d, \quad (17)$$

$$y_p = h_p^T x_p, \quad (18)$$

取理想组合模型为

$$M_p y_m = W_{m_p}(s) r - W_{m_d}(s) d, \quad (19)$$

其中 $W_{m_p} = k_{m_p} z_{m_p}(s)/R_m(s)$, $W_{m_d} = k_{m_d} z_{m_d}(s)/R_m(s)$, $z_{m_{1,2}}(s)$ 和 R_m 均为首 1 Hurwitz 多项式。我们的目的是求 u_p 使得

$$\lim_{t \rightarrow \infty} e_p = \lim_{t \rightarrow \infty} (y_p - y_m) = 0, \quad (20)$$

为此, 构造如下图所示的控制方案;

图中 f_1 和 c_0 为可调环节, 它们的方程是

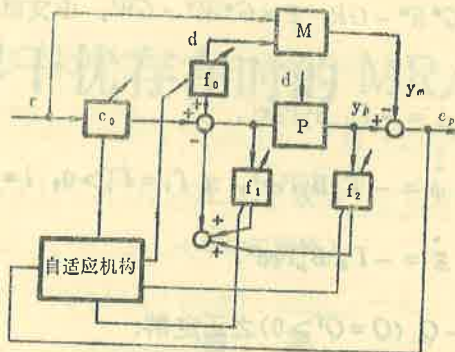


图 1

$$f_0: \dot{v}^{(0)} = \Lambda v^{(0)} + bd,$$
(21)

$$w^{(0)} = f_0^T v^{(0)} + k_0 d,$$
(22)

$$f_1: \dot{v}^{(1)} = \Lambda v^{(1)} + bu_p,$$
(23)

$$w^{(1)} = c^T v^{(1)},$$
(24)

$$f_2: \dot{v}^{(2)} = \Lambda v^{(2)} + by_p,$$
(25)

$$w^{(2)} = g^T v^{(2)} + g_0 y_p,$$
(26)

其中 $\Lambda \in R^{(n-1) \times (n-1)}$ 且稳定, $b^T = [0, 0, \dots, 0, 1]$ 。定义:

$$w^T = [r(t), d(t), v^{(0)}(t), -v^{(1)}(t), -y_p(t), -v^{(2)}(t)],$$

$$\theta^T = [c_0(t), k_0(t), f_0^T(t), c^T(t), g_0(t), g^T(t)],$$
(27)

则可以证明存在 $\theta = \theta^*$ 使得可调系统和理想模型完全匹配, 且误差 e_p 满足:

$$\dot{e} = A_e e + b_e \phi^T w, \quad e \in R^{4n-3},$$
(28)

$$e_p = h_e^T e,$$
(29)

其中 $\phi = \theta - \theta^*$, $h_e^T = [h_p^T, 0, 0, 0]$, A_e 和 b_e 分别为

$$A_e = \begin{pmatrix} A_p - g_0^* b_p h_p^T & b_p f_0^{*T} & -b_p c^{*T} & -b_p g^{*T} \\ 0 & \Lambda & 0 & 0 \\ -g_0^* b h_p^T & b_0 f_0^{*T} & \Lambda - b c^{*T} & -b g^{*T} \\ b h_p^T & 0 & 0 & \Lambda \end{pmatrix}, \quad b_e = \begin{pmatrix} l_p + k_0^* b_p \\ b \\ k_0^* b \\ 0 \end{pmatrix},$$
(30)

而相应的传递函数是

$$W_e(s) = h_e^T (sI - A_e)^{-1} b_e = \frac{k_p}{k_{mr}} W_{mr}(s),$$
(31)

那么,由文献[3]的结果可得如下的自适应律

$$\dot{\phi} = -\Gamma e_p \xi(t) \quad (\xi(t) = L^{-1}(s)w(t)), \quad (32)$$

其中 $L(s)$ 是使 $W_{mr}(s)L(s)$ 严正实。

三、例子

在这里,我们用 z—8000 微处理机进行实时仿真。

例 1 水轮机转速的自适应控制

$$x_p = \begin{pmatrix} -0.623 & 0.549 & -0.42 & 0 \\ 0 & -0.7 & -0.04 & 0 \\ 0 & 0 & -35.2 & 35.2 \\ 0 & 0 & 0 & -2.56 \end{pmatrix} x_p + \begin{pmatrix} 11.3 \\ 0.4 \\ 0.82 \\ 40 \end{pmatrix} u_p + \begin{pmatrix} -0.256 \\ 0 \\ -0.04 \\ -0.1 \end{pmatrix} d,$$

$$x_m = \begin{pmatrix} -4.534 & 0.023 & 0.012 & 0 \\ 0 & -2.72 & 0.023 & 0 \\ 0 & 0 & -35.8 & 35.8 \\ 0 & 0 & 0 & -2.74 \end{pmatrix} x_m + \begin{pmatrix} 11.3 \\ 0.4 \\ 0.82 \\ 40 \end{pmatrix} r + \begin{pmatrix} 0.08 \\ 0 \\ 0 \\ 0.12 \end{pmatrix} d,$$

仿真结果如图 2 所示。

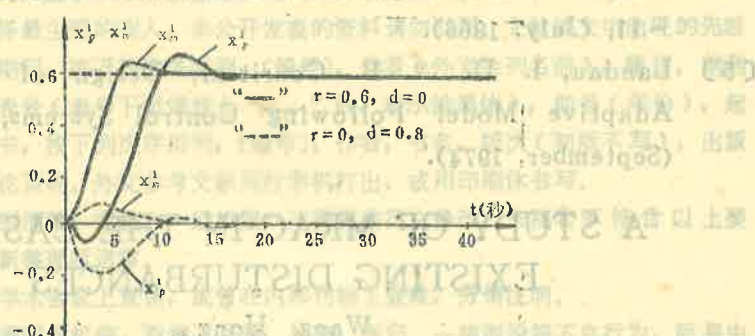


图 2

例 2 设被控对象和模型分别为

$$y_p = \frac{s + 1.05}{s^2 + 0.2s + 10} u_p - \frac{s + 0.025}{s^2 + 0.2s + 10} d,$$

$$y_m = \frac{0.2(s+2)}{s^2 + 10s + 16} r + \frac{0.0016(s+0.01)}{s^2 + 10s + 16} d,$$

则仿真的结果如图 3。

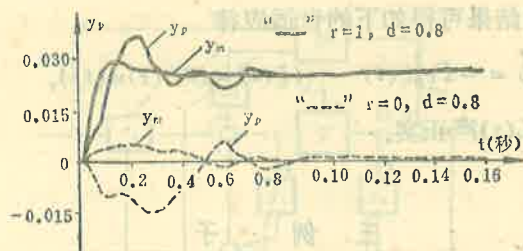


图 3
四、结 论

对于抗干扰性要求很强的不确定系统，可以构造一个理想组合模型并由此确定自适应规律，使系统具有良好的动态品质。

参 考 文 献

- [1] Narendra, K. S. & L. S. Valavani, Stable Adaptive Controller Design—Direct Control, IEEE Trans. Automat. Contr., AC-23, 4, (August 1978).
- [2] Yoan D. Landau, Adaptive Control—The Model Reference Approach, New York, (1979).
- [3] 韩曾晋, 自适应控制系统, 机械工业出版社, (1983).
- [4] Parks, P. C., Lyapunov Redesign of Model Reference Adaptive Control Systems, IEEE Trans. Automat. Contr., AC-11, (July, 1966).
- [5] Landau, I. D. & B. Courital, Design of Multivariable Adaptive Model Following Control Systems, Automatica, (September, 1974).

A STUDY OF MRAC IN THE CASE OF EXISTING DISTURBANCES

Wang Hong

(Huazhong Institute of Technology, Wuhan)

Abstract

This paper deals with the design of Model-reference-Adaptive Controllers in the case when there exist disturbances. The adaptive control laws for both the state-measurable and the state-unmeasurable cases are obtained. A Z-8000 16bits microprocessor is used for the real-time simulation, and the results show that this adaptive control law is applicable and gives suitable system performance.